

A CONTRIBUTION TO THE SENSITIVITY ANALYSIS AND SPECTRAL TUNING OF THE ROTATING SYSTEMS

V. Zeman*, Z. Hlaváč*

Summary: *This paper describes a sensitivity analysis and spectral tuning method of selected design parameters of the larger rotating systems. The method is based on the system decomposition into subsystems – rotor and stator – joined by discrete couplings – bearings and a transmission belt. The reduced conservative mathematical model of rotating systems including the effects of gyroscopic forces is assembled by means of the lower mode of the mutually uncoupled undamped subsystems with respect to the coupling properties. The method is applied for the sensitivity analysis and spectral tuning of the centrifugal fan.*

1. Úvod

Přinavrhování rotorových soustav je jedním z nejdůležitějších úkolů, které musí zajistit provoz v dostatečně vzdálenosti od kritických otáček. Ty jsou ovlivněny zejména ohybovou tuhostí rotorů, jejich gyrokopickými účinky, vazbami se statorem a modálními veličinami statoru. Jestliže například z Campbellova diagramu (Krämer, 1993) zjistíme blízkost provozních otáček rotoru ke kritickým, je nutné dodatečné spektrální přeladění změnou vybraných ladicích parametrů $\mathbf{p} = [p_j]$. Spektrální ladění nerotujících konstrukcí vychází z konzervativního modelu

$$\mathbf{M}(\mathbf{p}) \ddot{\mathbf{q}}(t) + \mathbf{K}(\mathbf{p}) \mathbf{q}(t) = \mathbf{0}. \quad (1)$$

U rozsáhlých rotorových soustav při respektování shora uvedených vlivů je nutné vycházet z kondenzovaného konzervativního modelu systému při provozní úhlové rychlosti ω .

2. Kondenzovaný konzervativní model rotorové soustavy

Východiskem pro citlivostní analýzu a následné spektrální ladění je konzervativní model rotorové soustavy dekomponovaný na systémy R (rotor) a S (stator) a kondenzovaný například z $n \sim 10^5$ na $m \sim 10^2$ stupňů volnosti. Můžeme jej zapsat v parametrické tvaru

$$\ddot{\mathbf{x}}(t) + \omega \mathbf{G} \dot{\mathbf{x}}(t) + (\mathbf{\Lambda} + \mathbf{V}^T \mathbf{K}_C \mathbf{V}) \mathbf{x}(t) = \mathbf{0}, \quad (2)$$

kde matice jsou závislé na parametrech rotoru \mathbf{p}_R , statoru \mathbf{p}_S a vazeb \mathbf{p}_C . Jeho souřadnice $\mathbf{x}(t) = [\mathbf{x}_R^T(t), \mathbf{x}_S^T(t)]^T$, tzv. hlavní modální souřadnice o počtu m_R resp. m_S rozpojených

* Prof. Ing. Vladimír Zeman, DrSc., Doc. RNDr. Zdeněk Hlaváč, CSc.: Katedra mechaniky; Západočeská univerzita v Plzni; Univerzitní 8; 306 14 Plzeň; tel.: +420.377 632 300; fax: +420.377 632 302; e-mail: zemanv@kme.zcu.cz, hlavac@kme.zcu.cz

subsystémů, jsou se zobecněnými souřadnicemi subsystémů $\mathbf{q}_R(t)$, $\mathbf{q}_S(t)$ dimenze n_R resp. n_S vázány modálními transformacemi (Zeman, 1994)

$$\mathbf{q}_s(t) = {}^m \mathbf{V}_s(\mathbf{p}_s) \mathbf{x}_s(t), \quad s = R, S, \quad (3)$$

kde ${}^m \mathbf{V}_s(\mathbf{p}_s) = R^{n_s, m_s}$ jsou modální submatice rozpojených a nerotujících subsystémů u vyhovující podmínkám ortonormality

$${}^m \mathbf{V}_s^T \mathbf{M}_s {}^m \mathbf{V}_s = \mathbf{E}_s, \quad {}^m \mathbf{V}_s^T \mathbf{K}_s {}^m \mathbf{V}_s = {}^m \mathbf{\Lambda}_s.$$

Matice gyrokopických činků řádu m

$$\mathbf{G} = \begin{bmatrix} {}^m \mathbf{V}_R^T(\mathbf{p}_R) \mathbf{G}_R(\mathbf{p}_R) {}^m \mathbf{V}_R(\mathbf{p}_R) & \mathbf{0} \\ \mathbf{0} & \mathbf{0} \end{bmatrix} \quad (4)$$

matice $\mathbf{V} = \text{diag} \{ {}^m \mathbf{V}_s(\mathbf{p}_s) \} \in R^{n, m}$, $n = n_R + n_S$, $m = m_R + m_S$ jsou blokově diagonální a matice $\mathbf{\Lambda} = \text{diag} \{ {}^m \mathbf{\Lambda}_s(\mathbf{p}_s) \} \in R^{m, m}$ je diagonální. Matice tuhosti vazeb $\mathbf{K}_C(\mathbf{p}_C)$ závisí na parametrech vazeb mezi subsystémy R a S . Model (2) rozšíříme o identitu

$$(\mathbf{\Lambda} + \mathbf{V}^T \mathbf{K}_C \mathbf{V}) \dot{\mathbf{x}}(t) - (\mathbf{\Lambda} + \mathbf{V}^T \mathbf{K}_C \mathbf{V}) \mathbf{x}(t) = \mathbf{0} \quad (5)$$

azavedeme stavový vektor dimenze $2m$

$$\mathbf{u}(t) = \begin{bmatrix} \dot{\mathbf{x}}(t) \\ \mathbf{x}(t) \end{bmatrix}. \quad (6)$$

Kondenzovaný konzervativní model rotorové soustavy můžeme přepsat do stavového prostoru (Géradin & Rixen, 1997)

$$\mathbf{A} \dot{\mathbf{u}}(t) + \mathbf{B}(\omega) \mathbf{u}(t) = \mathbf{0} \quad (7)$$

symetrickou maticí \mathbf{A} a antisymetrickou maticí $\mathbf{B}(\omega)$, přičemž

$$\mathbf{A} = \begin{bmatrix} \mathbf{E} & \mathbf{0} \\ \mathbf{0} & \mathbf{\Lambda} + \mathbf{V}^T \mathbf{K}_C \mathbf{V} \end{bmatrix}, \quad \mathbf{B}(\omega) = \begin{bmatrix} \omega \mathbf{G} & \mathbf{\Lambda} + \mathbf{V}^T \mathbf{K}_C \mathbf{V} \\ -(\mathbf{\Lambda} + \mathbf{V}^T \mathbf{K}_C \mathbf{V}) & \mathbf{0} \end{bmatrix}.$$

3. Citlivost ladění vlastních frekvencí

Znalost citlivosti vlastních frekvencí Ω_ν na parametry systému a provozní úhlové rychlosti rotoru je klíčová pro ladění rotorové soustavy. Řešením problému vlastních hodnot kondenzovaného modelu (7) vypočítáme ryze imaginární vlastní čísla $\lambda_\nu = i \Omega_\nu$ a $\lambda_{\nu+m} = -i \Omega_\nu$, $\nu = 1, 2, \dots, m$ a jim přiřazené komplexní vlastní vektory \mathbf{u}_ν . Tyto modální veličiny rotorové soustavy splňují rovnici (argument ω u \mathbf{B} vypouštíme)

$$[\lambda_\nu \mathbf{A} + \mathbf{B}] \mathbf{u}_\nu = \mathbf{0}, \quad \nu = 1, 2, \dots, 2m \quad (8)$$

apodmínky ortogonality

$$\mathbf{u}_i^H \mathbf{A} \mathbf{u}_j = \alpha_j \delta_{i,j}, \quad \mathbf{u}_i^H \mathbf{B}(\omega) \mathbf{u}_j = -\lambda_j \alpha_j \delta_{i,j}, \quad i, j \in \{1, 2, \dots, 2m\}, \quad (9)$$

kde $\alpha_j = \mathbf{u}_j^H \mathbf{A} \mathbf{u}_j$ je reálné číslo a $\delta_{i,j}$ je Kroneckerův symbol.

Předpokládejme, že matice \mathbf{A} , $\mathbf{B}(\omega)$ jsou funkcí vektoru parametrů $\mathbf{p} = [p_j]$. Parciální derivací rovnice (8) podle parametru p_j a poté pronásobením hermitovsky sdruženým vlastním vektorem \mathbf{u}_ν^H zleva dostaneme

$$\frac{\partial \lambda_\nu}{\partial p_j} \mathbf{u}_\nu^H \mathbf{A} \mathbf{u}_\nu + \mathbf{u}_\nu^H \left(\frac{\partial \mathbf{B}}{\partial p_j} + \lambda_\nu \frac{\partial \mathbf{A}}{\partial p_j} \right) \mathbf{u}_\nu + \mathbf{u}_\nu^H (\lambda_\nu \mathbf{A} + \mathbf{B}) \frac{\partial \mathbf{u}_\nu}{\partial p_j} = \mathbf{0}. \quad (10)$$

Vzhledem k symetrické matici \mathbf{A} a antisymetrické matici \mathbf{B} adjungovanému problému vlastních hodnot

$$(\lambda_\nu \mathbf{A} + \mathbf{B}^T) \mathbf{u}_\nu^* = \mathbf{0} \quad (11)$$

vyhovuje komplexně sdružený pravostranný vlastní vektor, \mathbf{u}_ν^* k \mathbf{u}_ν . Transponováním rovnice (11) dostaneme

$$\mathbf{u}_\nu^H (\lambda_\nu \mathbf{A} + \mathbf{B}) = \mathbf{0}$$

atd. z rovnice (10) pro $\lambda_\nu = i \Omega_\nu$ vyplývá

$$\frac{\partial \Omega_\nu}{\partial p_j} = \frac{i}{\mathbf{u}_\nu^H \mathbf{A} \mathbf{u}_\nu} \mathbf{u}_\nu^H \left(\frac{\partial \mathbf{B}(\omega)}{\partial p_j} + i \Omega_\nu \frac{\partial \mathbf{A}}{\partial p_j} \right) \mathbf{u}_\nu, \quad \nu = 1, 2, \dots, m. \quad (12)$$

Výraz (12) vyjadřuje citlivost vlastní frekvence rotorové soustavy při dané úhlové rychlosti ω rotoru. Lze dokázat, že platí

$$\mathbf{u}_\nu^H \frac{\partial \mathbf{B}}{\partial p_j} \mathbf{u}_\nu = 2i \bar{\mathbf{u}}_\nu^T \frac{\partial \mathbf{B}}{\partial p_j} \bar{\mathbf{u}}_\nu \quad \mathbf{u}_\nu^H \frac{\partial \mathbf{A}}{\partial p_j} \mathbf{u}_\nu = \bar{\mathbf{u}}_\nu^T \frac{\partial \mathbf{A}}{\partial p_j} \bar{\mathbf{u}}_\nu + \bar{\bar{\mathbf{u}}}_\nu^T \frac{\partial \mathbf{A}}{\partial p_j} \bar{\bar{\mathbf{u}}}_\nu,$$

kde $\bar{\mathbf{u}}_\nu = \text{Re} \{ \mathbf{u}_\nu \}$, $\bar{\bar{\mathbf{u}}}_\nu = \text{Im} \{ \mathbf{u}_\nu \}$ atd. z citlivosti (12) je reálné číslo.

Při zkoumání citlivosti vlastních frekvencí nazmůžeme parametrů \mathbf{p} v různých jednotkách je účelné definovat relativní citlivosti

$$\frac{\partial \bar{\Omega}_\nu}{\partial \bar{p}_j} = \frac{\partial \Omega_\nu}{\partial p_j} \frac{p_j}{\Omega_\nu}, \quad \nu = 1, 2, \dots, m, \quad j = 1, 2, \dots \quad (13)$$

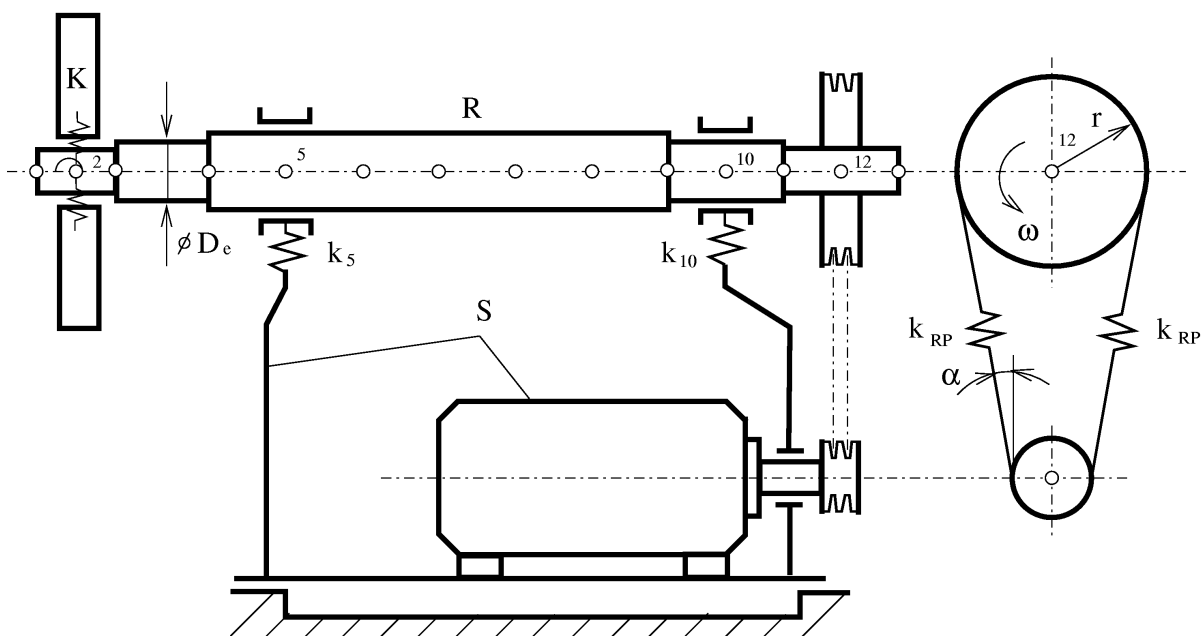
apodle jejich velikosti vybírat parametry pro ladění. Při ladění je chápáno jako optimalizační úloha s cílovou funkcí typu

$$\psi(\mathbf{p}) = \sum_v \left[a_v \Omega_v(\mathbf{p}, \omega) + b_v \frac{1}{\Omega_v(\mathbf{p}, \omega)} \right], \quad (14)$$

kde váhové koeficienty a_v jsou p řiřazeny vlastním frekvencím p řeladřovaným kniřším hodnotámanaopak b_v kvyšřím hodnotám.

4. Aplika čnřp řřklad

Nově vyvinutou metodu citlivostnř analřzy a spektrálnřh o lad ěnř jsme testovali na p řřkladě rotoru (R) ventilátoru (obr. 1) zatřm zap ředpokladu tuhěsk řřně (S). Rotor je ulořen v uzlech 5 a 10 vanizotropnřch lořiskách o axiálnř tuhosti $k_x^{(l)} = \bar{k}_x k_l$ a radiálnřch tuhostech k_l ve vertikálnřm a $k_z^{(l)} = \bar{k}_z k_l$ v horizontálnřm sm ěru. S řemenicř na hnacřm h řřdeli motoru je rotor vřzán řemenovřm p řevodem otuhostech řemenř k_{RP} vobov ětvřch. Ob ěřně kolo (K) ventilátoru je pruřn ě ulořeněkh řřdeli.



Obr. 1 Schem ventilátoru

Zauvedenřch p ředpokladř konzervativnř matematickř model rotoru mřt var

$$\mathbf{M}_R \ddot{\mathbf{q}}_R(t) + \omega \mathbf{G}_R \dot{\mathbf{q}}_R(t) + (\mathbf{K}_R + \mathbf{K}_L + \mathbf{K}_{RP}) \mathbf{q}_R(t) = \mathbf{0}, \quad (15)$$

kde \mathbf{M}_R , \mathbf{G}_R , \mathbf{K}_R jsou matice hmotnosti, gyroskopickřch ěinkř a tuhosti rotoru bez vazeb s rāmema \mathbf{K}_L resp. \mathbf{K}_{RP} jsou matice lořiskovřch vazeb a vazeb řemenovřm p řevodem. Lze je vyjád řit v tvaru

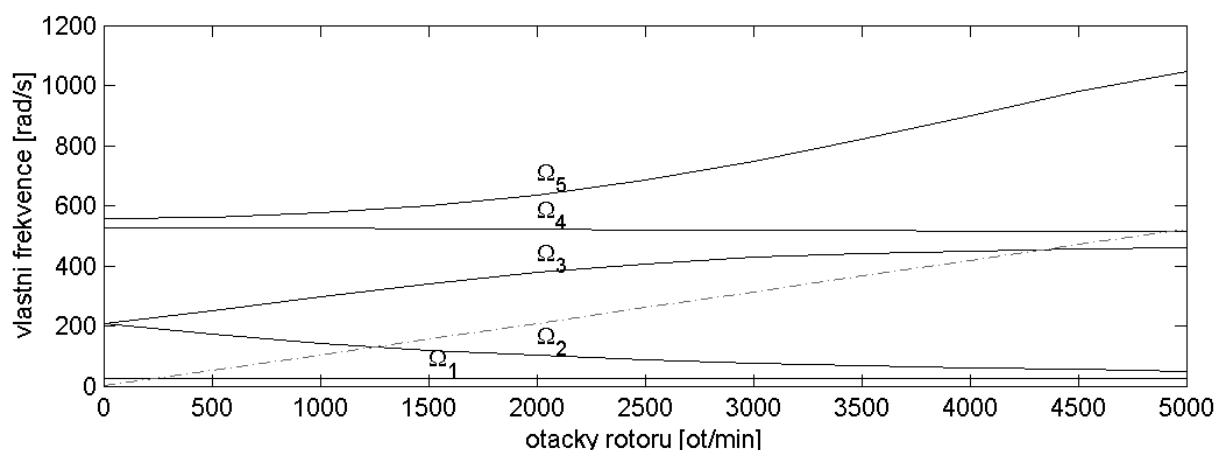
$$\mathbf{K}_L = \sum_l \begin{bmatrix} \ddots & & & \\ & \mathbf{K}_l & & \\ & & \ddots & \\ & & & \ddots \end{bmatrix}, \quad \mathbf{K}_{RP} = \begin{bmatrix} \ddots & & & \\ & \mathbf{K}_{rp} & & \\ & & \ddots & \\ & & & \ddots \end{bmatrix},$$

kde $\mathbf{K}_l = k_l \text{diag}(\bar{k}_x \quad 1 \quad \bar{k}_z)$ $l = 5, 10$

$$\mathbf{K}_{rp} = k_{RP} \begin{bmatrix} 2 \cos^2 \alpha & 0 & 0 \\ 0 & 2 \sin^2 \alpha & -2r \sin \alpha \\ 0 & -2r \sin \alpha & 2r^2 \end{bmatrix}.$$

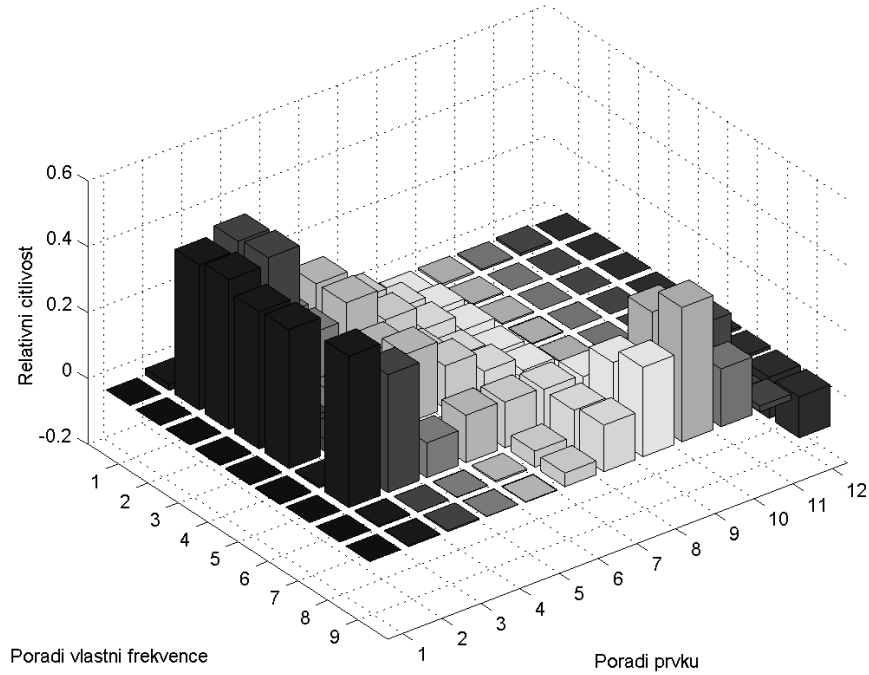
Lokalizacematic \mathbf{K}_l a \mathbf{K}_{rp} v maticích \mathbf{K}_L a \mathbf{K}_{RP} jedána pozicí souřadnic z_1, z_2, \dots, z_{12} (obr.1) ve vektoru z obecných souřadnic \mathbf{q}_R .

Campbellův diagram rotoru ventilátoru pro rozsah jeho otáček zaminutu $n \in \langle 0, 5000 \rangle$ je znázorněn na obr.2. Nejnižší vlastní frekvence, odpovídající cítorzním kmitům rotoru, nezávisí na jeho otáčkách. kritické otáčky rotoru jsou dány průsečíky nabíhových přímky (vyznačené čerchovaně) s čarami $\Omega_v(n)$.

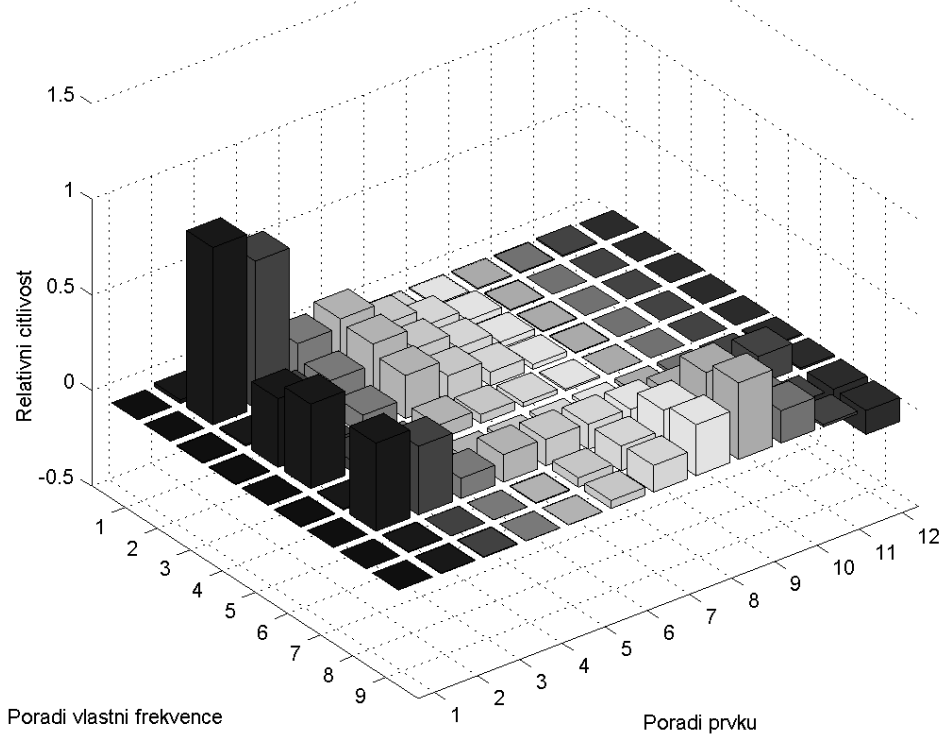


Obr.2 Campbellův diagram rotoru ventilátoru

Relativní citlivosti prvních devíti vlastních frekvencí subsystému R vzhledem k průměrům D_e , $e = 1, 2, \dots, 12$ rotorových prvků (mezi uzly vyznačenými na obr.1) jsou znázorněny na obr.3a (pro $n = 0$) a 3b (pro $n = 2000 \text{ ot/min}$). Zobrazení je zejména citlivost 2., 4., 5. a 7. vlastní frekvence na změnu průměrů rotorových prvků nejbližších k oběžnému kolu a výrazná změna citlivosti v důsledku gyroskopických účinků zejména u 3. vlastní frekvence.

Zavislost citlivosti vlastnich frekvenci na vnejsich prumerech pro otacky $n=0$ 

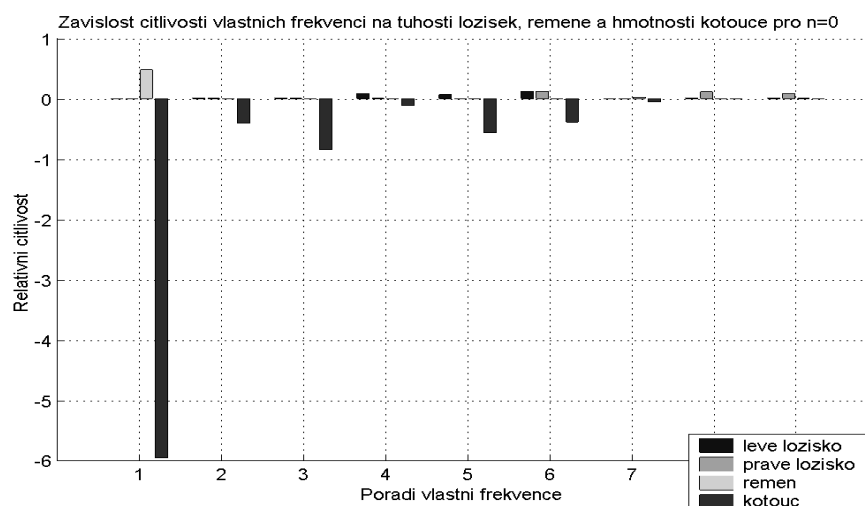
a)

Zavislost citlivosti vlastnich frekvenci na vnejsich prumerech pro otacky $n=2000$ 

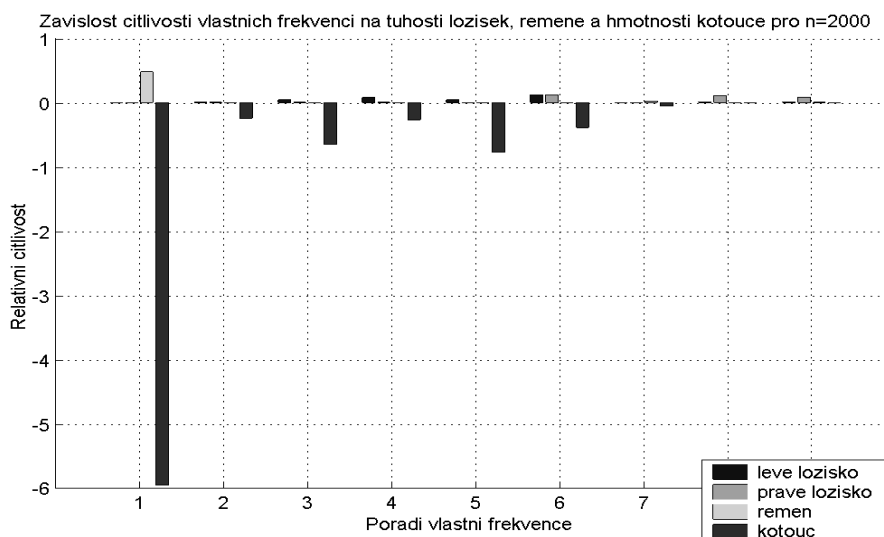
b)

Obr.3 Citlivost vlastních frekvencí rotoru v závislosti na rozměrech prvků řetězky rotoru $n = 0$ (a) a $n = 2000$ ot/min (b)

Relativní citlivosti těchto vlastních frekvencí vzhledem k tuhostem ložisek k_5, k_{10} , tuhosti řemenů k_{RP} a hmotnosti m kotouče (oběžného kola) při zachování poměru jeho momentů setrvačnosti k hmotnosti $I/m, I_0/m$ jsou znázorněny na obr. 4a (pro $n = 0$) a 4b (pro $n = 2000$). Na citlivost 1. vlastní frekvence má dominantní vliv hmotnost kotouče a tuhost řemenů. Změnou hmotnosti kotouče lze zvýraznit vlastní frekvence Ω_2 až Ω_6 .



a)



b)

Obr. 4 Citlivost vlastních frekvencí rotoru ventiliátoru na změnu tuhosti ložisek, řemene a hmotnosti kotouče při otáčení rotoru $n = 0$ (a) a $n = 2000$ ot/min (b)

Pro ilustraci uveďme úlohu p řeladění rotoru ventilátoru, který má provozní otá čky $n_p = 1500 \text{ ot/min}$, nacházející se blízko nad kritickými otá čkami $n_2 = 1247 \text{ ot/min}$. Cílovou funkcí formulujme s souladem výrazem (14) vetvaru

$$\psi(\mathbf{p}) = \Omega_2(\mathbf{p}, \omega_p), \quad \omega_p = \frac{\pi n_p}{30}$$

s cílem oddálit provozní stav kritickému. Z analýzy citlivosti vyplývá, že za optimaliza ční parametry bude ú čelné vybrat pom ěrné hodnoty p říměru $p_1 = \frac{D_2}{D_2^{(0)}}$, $p_2 = \frac{D_3}{D_3^{(0)}}$ a pom ěrnou

hmotnost kotou če $p_3 = \frac{m}{m^{(0)}}$ vzhledem k hodnotám na startu. P řípustnou oblast definujme množinou

$$\mathbf{p} \in \langle 0,8 ; 1,2 \rangle \mathbf{p}_0$$

p ři startovacím vektoru parametr ů $\mathbf{p}_0 = [1 \ 1 \ 1]^T$. Výsledkem minimalizace cílové funkce jsou kritické otá čky $n_2 = 988 \text{ ot/min}$ dosažené p ři vektoru optimaliza čních parametr ů $\mathbf{p} = [0,8 \ 1,094 \ 1,2]^T$.

5. Záv ěr

Metoda umož ňuje analyzovat citlivost vlastních frekvencí a spek trální n ěladi troz sáhl é rotorové soustavy p ři libovolných otá čkách rotoru. Je založena na dekompozici soustavy na rotující subsystem (rotor) sv ýraznými gyroskopickými ú činky a nerotující subsystem (stator). Oba subsystemy jsou provázány diskretizovanými vazbami. Vektory zobecn ěných sou řadnic navzájem rozpojených subsystem ů jsou transformovány sv ými modálními maticemi (submaticemi) p ři nulových otá čkách rotoru. Východiskem analýzy citlivosti vlastní ch frekvencí a spek trálního lad ění je kondenzovaný konzervativní model soustavy ve stavovém prostoru. Parametrizovaný model rotoru umož ňuje analytické vyjád ření citlivosti vlastních frekvencí vzhledem k jeho návrhovým parametr ům na základ ě modálních veli čin kondenzovaného modelu soustavy p ři libovolných otá čkách rotoru. Metodika je algoritmizována a testována na reálné soustav ě ventilátoru.

P říspevek byl vypracován v rámci výzkumného zám ěru MSM 235200003 MŠMT, řešeném na kated ře mechaniky Fakulty aplikovaných v ěd, Západo české univerzity v Plzni.

5. Literatura

- Krämer, E. (1993) Dynamics of Rotors and Foundations. Springer – Verlag, Berlin, Heidelberg.
- Zeman, V. (1994) Vibration of Mechanical Systems by the Modal Synthesis Method. ZAMM – Z. angew. Math. Mech., 74, 4, T99–T101.
- Géradin, M., Rixen, D. (1997) Mechanical Vibrations. Wiley, Chichester.